

## ИДЕНТИФИКАЦИЯ МОДЕЛЕЙ И ОЦЕНКА СОСТОЯНИЯ GRID-СИСТЕМ

**Ключевые слова:** *Grid-система, идентификация моделей, обобщенный вектор показателей системы, структурно-функциональный анализ, нечеткие эллипсоидальные множества, нейросетевая модель.*

**Введение.** Постановка задачи оптимизации Grid-системы, рассматриваемой как функционирующий в условиях неопределенности объект управления, к которому можно применять методы идентификации и оценивания и на основе обратной связи обеспечить управление этим объектом, — это планирование выполнения задач, для этого нужно оценить текущее состояние распределенной системы и загрузку ее отдельных ресурсов. Отметим, что до сих пор теория управления для разработки и исследования Grid-систем практически не использовалась, поскольку такие системы сложные и иерархические, чем обусловлена объективная трудность их строгого аналитического описания. Среди литературных источников доступны лишь несколько работ, связанных с применением теории управления для моделирования нагрузки и планирования вычислений в Grid-среде. Так, в одной из них для оценки состояний линейной модели Grid-системы применен фильтр Калмана [1].

В статье на основе результатов структурно-функционального анализа (СФА), полученных в [2], для описания функционирования разных Grid-ресурсов предложен ряд моделей таких систем. В частности нагрузку на отдельный узел Grid-системы можно описать моделью линейного объекта управления с неизвестными возмущениями, а неопределенности представить с помощью теоретико-множественного подхода [3–5]. При этом для записи граничных значений неизвестных величин оценивание неизвестных переменных выполняется на основе нечетких эллипсоидальных множеств [6]. Для описания функционирования сегмента или Grid-системы в целом и более полного учета показателей функционирования предложен кибернетический подход к моделированию, когда система рассматривается как «черный ящик» и с учетом ее нелинейности описывается нейросетевой моделью. Для адаптивности и робастности процесса идентификации матриц весовых коэффициентов использован метод рекуррентного оценивания параметров этой модели [7].

**Задачи оценивания состояний и параметров компонентов структурной модели Grid-системы.** В [2, 8] рассмотрена задача СФА Grid-системы для задач исследования Земли (EOGrid) и получено формальное описание такой системы. Отметим, что структурную декомпозицию без ограничения общности можно применять для Grid-систем. Именно в таком контексте следует рассматривать данную статью.

Результат структурной декомпозиции системы показан на рис. 1.

Количество показателей функциональных элементов (ФЭ) всех уровней иерархии системы (системы в целом, сегментов, узлов и компонентов) определяет соотношение

$$X = \{\mathbf{x}_{qp}, p = \overline{1, P}, q = \overline{1, N}\}, \quad (1)$$

а обобщенный вектор показателей — формула

$$\mathbf{x} = (x_1, x_2, \dots, x_{N_0})^T, \mathbf{x} \in \mathbf{R}^{N_0}. \quad (2)$$

Как следует из [2], одной из главных задач структурно-функционального анализа является определение преобразования

$$F: X \rightarrow Y \quad (3)$$

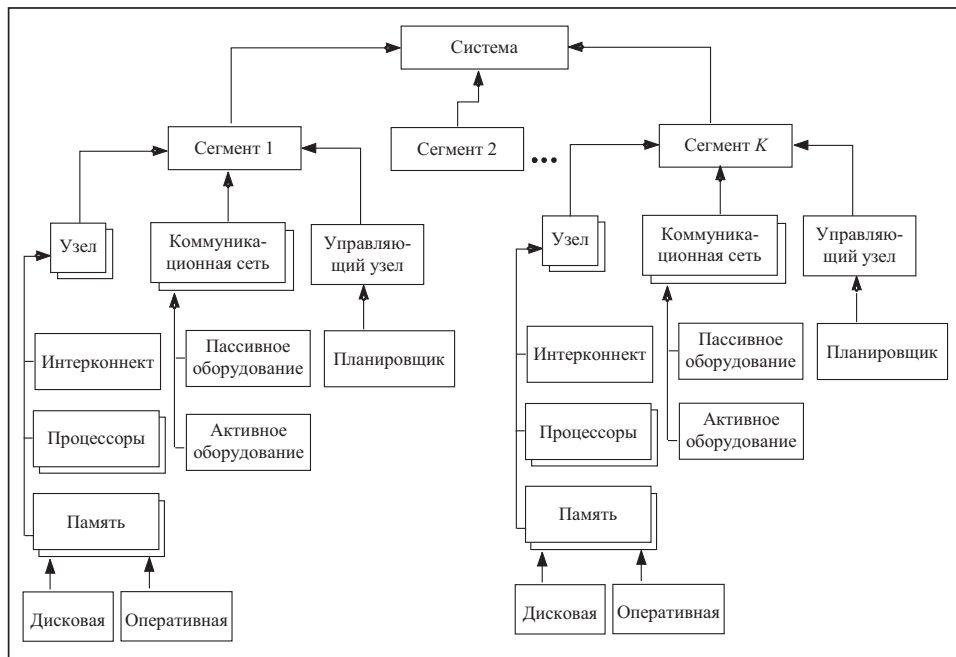


Рис. 1

из множества  $X$  допустимых показателей системы в пространство  $Y$  необходимых свойств по набору количественных и качественных требований. При этом задача структурно-параметрической идентификации разрешает одновременно определять структуру иерархической системы в целом и ФЭ всех уровней иерархии, а также вид (3).

Поскольку Grid-система на рис. 1 относится к классу СМИС [9], являясь иерархической и существенно-нелинейной, все аспекты ее функционирования сложно описать единой моделью. Поэтому выделим задачи идентификации и оценивания, в которых можно ограничить уровень абстракции модели с учетом существующей информации.

**Формирование вектора состояния узла.** Определим переменные, подлежащие оцениванию в процессе функционирования системы. Согласно (2), (3) ФЭ Grid-узла характеризуются векторами показателей. Вектор показателей  $\mathbf{x}_{\text{proc}}$  для процессоров согласно (3) имеет вид

$$\mathbf{x}_{\text{proc}}^T = (x_{\text{arch}}, x_{\text{freq}}, x_{\text{load}})^T,$$

где  $x_{\text{arch}}$  — архитектура процессора;  $x_{\text{freq}}$  — его частота;  $x_{\text{load}}$  — загрузка процессора (средняя за некоторый период времени). Первые две компоненты этого вектора не изменяются во времени и их значение определяется типом процессора. А загрузка процессора (компонента  $x_{\text{load}}$ ) динамически изменяется и подлежит оцениванию при функционировании системы.

Для оперативной памяти вектор показателей имеет вид

$$\mathbf{x}_{\text{mem}}^T = (x_{\text{vol}}, x_{\text{vol\_total}}, x_{\text{rate}})^T,$$

где  $x_{\text{vol}}$  — объем свободной памяти в данный момент времени;  $x_{\text{vol\_total}}$  — общий объем памяти;  $x_{\text{rate}}$  — скорость доступа к памяти для чтения и записи. Для этого вектора последние две компоненты неизменны и определяются архитектурой модуля памяти, а объем свободной памяти  $x_{\text{vol}}$  динамически изменяется и подлежит оцениванию.

Для дисковой памяти (или хранилищ) вектор показателей имеет вид

$$\mathbf{x}_{\text{storage}}^T = (\mathbf{x}_{\text{seq}}^T, \mathbf{x}_{\text{par}}^T, x_{\text{vol}}, x_{\text{vol\_total}})^T,$$

где  $\mathbf{x}_{seq}$  — вектор, характеризующий зависимость пропускной способности хранилища от количества одновременных запросов для последовательного (поточкового) доступа;  $\mathbf{x}_{par}$  — вектор, характеризующий зависимость пропускной способности хранилища от количества одновременных запросов для параллельного доступа;  $x_{vol}$  — объем свободного пространства в хранилище в данный момент времени;  $x_{vol\_total}$  — общий объем хранилища. Для вектора  $\mathbf{x}_{storage}$  компонентой, подлежащей оцениванию в процессе функционирования системы, является  $x_{vol}$ . Оценки двух первых компонент  $\mathbf{x}_{seq}$  и  $\mathbf{x}_{par}$  являются табличными значениями от разработчиков аппаратного обеспечения.

Для управляющего узла используем вектор показателей

$$\mathbf{x}_{control}^T = (\mathbf{x}_{node\_queue}^T, x_{node}, \mathbf{x}_{node\_load}^T, \mathbf{x}_{queue}^T)^T,$$

где  $\mathbf{x}_{node\_queue} = (x_1, x_2, \dots, x_k)$  — длина очереди задач на подконтрольных узлах;  $\mathbf{x}_{queue}$  — длина очереди на управляющем узле;  $x_{node} = k$  — количество подконтрольных узлов;  $\mathbf{x}_{node\_load}$  — распределение загрузки подконтрольных узлов (среднее за некоторый период времени). Для данного вектора следует оценить векторы  $\mathbf{x}_{node\_queue}$ ,  $\mathbf{x}_{queue}$  и  $\mathbf{x}_{node\_load}$ .

Согласно рис. 1 в состав вычислительного узла Grid-системы входит еще интерконнект. Поскольку при построении Grid-систем, во-первых, используются средства обеспечения межаппаратного взаимодействия (сетевые адаптеры, концентраторы, переключатели и т.д.), а во-вторых, параметры таких устройств не изменяются во времени, то при оценивании нагрузки на вычислительные и управляющие узлы Grid-системы соответствующие компоненты вектора их состояния являются постоянными. Следовательно, без потери общности их можно исключить из рассмотрения.

Все компоненты оцениваемых векторов измеряются в относительных единицах или в процентах и обеспечивают один диапазон допустимых значений, который для удобства можно пронормировать и привести к диапазону изменения от 0 до 1.

Отметим, что для отдельных компонент сформированных выше векторов состояния узлов Grid-системы характерны разные интервалы дискретизации для получения новых измерений (значит, и соответствующих оценок). Например, значения компонента  $x_2$  вектора  $\mathbf{x}_{node}$  обычно изменяются в течение нескольких минут, а компонента  $x_3$  изменяется гораздо медленнее. Поэтому общий интервал дискретизации для получения текущих оценок вектора состояния целесообразно выбирать из практических соображений. Например, можно учитывать продолжительность выполнения прикладных задач, которая может составлять несколько часов. В частности, известно, что задача получения численного прогноза погоды требует порядка 4 часов счета на 4-процессорном узле, задача подбора параметров метеорологической модели WRF — 1,5 часа и т.д. В качестве интервала дискретизации целесообразен интервал 5 мин, поскольку, с одной стороны, этот интервал гораздо меньше общего времени вычислений и позволяет динамически отслеживать изменение нагрузки на ресурсы. С другой стороны, такой интервал существенно превышает интервал дискретизации измерений (например, для центрального процессора в течение секунды выполняются миллионы инструкций).

Такой интервал дискретизации обусловлен также возможностями существующих программных средств, позволяющих реализовать механизм опроса ресурсов Grid-системы. Например, Spring [10] представляет требуемые оценки в фиксированные интервалы времени (1 раз за 5 мин). Следует учитывать также, что возможность получения измерительной информации сильно зависит от текущей нагрузки на сеть и другие ресурсы, т.е. при использовании стандартных средств для получения текущих оценок вектора состояния узла не гарантируется своевременность поступления требуемой информации. Для функционирования механизмов планирования распределения нагрузки необходимы модель и алгоритмы оценивания текущего значения вектора состояния.

В пользу модели и вычисления оценок вектора состояния узла Grid-системы свидетельствует также тот факт, что ресурсы этой системы принадлежат к разным

административным доменам, в которых принята политика безопасности и обеспечения целостности не допускает использования дополнительных средств тестирования и сбора статистики. В то же время стандартные программные средства диагностики и ведения системных журналов не могут предоставить всей необходимой информации. По сути оценивание текущих значений вектора состояния на основе модели — единственное средство получения данных. Итак, при оценивании нагрузки узла требуется оценить вектор состояния

$$\mathbf{x}_{\text{node}} = (\mathbf{x}_1^T, \mathbf{x}_2^T, \mathbf{x}_3^T)^T, \quad (4)$$

где  $\mathbf{x}_1 \in \mathbf{R}^n$ ,  $\mathbf{x}_2 \in \mathbf{R}^m$ ,  $\mathbf{x}_3 \in \mathbf{R}^k$ , причем размерности векторов  $\mathbf{x}_1$ ,  $\mathbf{x}_2$  и  $\mathbf{x}_3$  определяются конфигурацией аппаратных средств (число процессоров, блоков оперативной памяти и жестких дисков), а значения компонент этих векторов соответствуют значениям загрузки процессоров, оперативной памяти и жесткого диска соответственно.

В частности для обычного однопроцессорного компьютера с одним жестким диском и единым пространством оперативной памяти вектор  $\mathbf{x}_{\text{node}}$  имеет размерность 3. Для четырехпроцессорного вычислителя с общей памятью первая компонента  $\mathbf{x}_1$  вектора  $\mathbf{x}_{\text{node}}$  уже имеет размерность 4 (по числу процессоров). Тогда общая размерность  $\mathbf{x}_{\text{node}}$  составляет 6. Если в качестве узла использован кластер, состоящий из  $n = 127$  отдельных узлов (например, СКИТ-3 Института кибернетики им. В.М. Глушкова НАНУ), у каждого из которых есть свое адресное пространство и жесткий диск, то вектор  $\mathbf{x}_{\text{node}}$  примет вид

$$\mathbf{x}_{\text{node}}^T = (\mathbf{x}_1^T, \mathbf{x}_2^T, \mathbf{x}_3^T)^T, \quad (5)$$

где  $\mathbf{x}_1 = (x_{11}, x_{12}, \dots, x_{1n})^T$ ,  $\mathbf{x}_2 = (x_{21}, x_{22}, \dots, x_{2n})^T$ ,  $\mathbf{x}_3 = (x_{31}, x_{32}, \dots, x_{3n})^T$ , причем  $x_{1i} = x_{\text{load } i}$ ,  $x_{2i} = x_{\text{vol } i}$  и  $x_{3i} = x_{\text{vol } i}$  определяют текущее состояние процессора, оперативной памяти и жесткого диска  $i$ -го узла кластера соответственно. При этом размерность векторов  $\mathbf{x}_1$ ,  $\mathbf{x}_2$ ,  $\mathbf{x}_3$  определяется количеством используемых вычислительных узлов.

Для управляющего узла оцениваемый вектор состояния имеет вид

$$\mathbf{x}_{\text{control}}^T = (\mathbf{x}_1^T, \mathbf{x}_2^T, \mathbf{x}_3^T), \quad (6)$$

где  $\mathbf{x}_1 = \mathbf{x}_{\text{node\_queue}}$ ,  $\mathbf{x}_2 = \mathbf{x}_{\text{queue}}$ ,  $\mathbf{x}_3 = \mathbf{x}_{\text{node\_load}}$ .

**Схема процесса оценивания загрузки Grid-узла.** В немногочисленной литературе (скажем, в работах [1, 11]) нагрузка на вычислительные и информационные ресурсы одного узла Grid-системы оценивается на основе линейной модели объекта управления. В этих работах рассмотрены простые модели, не адекватные сложности задачи и оценивающие скалярную величину нагрузки на ресурс. Поскольку согласно (5) и (6) Grid-система характеризуется вектором показателей, для описания ее функционирования целесообразна более адекватная модель объекта управления в векторном пространстве состояний с неизвестными возмущениями, которая остается в классе линейных моделей. Для оценивания состояния такой модели в условиях нестатистически заданной неопределенности целесообразен теоретико-множественный подход [5], в частности метод эллипсоидального оценивания [3, 4]. При отсутствии достоверной априорной информации об оцениваемых величинах предлагается строить нечеткие множественные оценки неизвестных векторов [12].

При отсутствии уточняющей информации о структуре Grid-узла его загрузку целесообразно моделировать на основе информационного или кибернетического подхода, используя модель в виде «черного ящика» с измеряемыми входами и выходами. Для математического описания таких нелинейных моделей удобны нейронные сети, обеспечивающие адекватное представление моделей, как в терминах «вход-выход» (модель NARX), так и в пространстве состояний [7]. В [13] показано, что нейронной сетью персептронного типа с одним скрытым слоем можно аппрок-

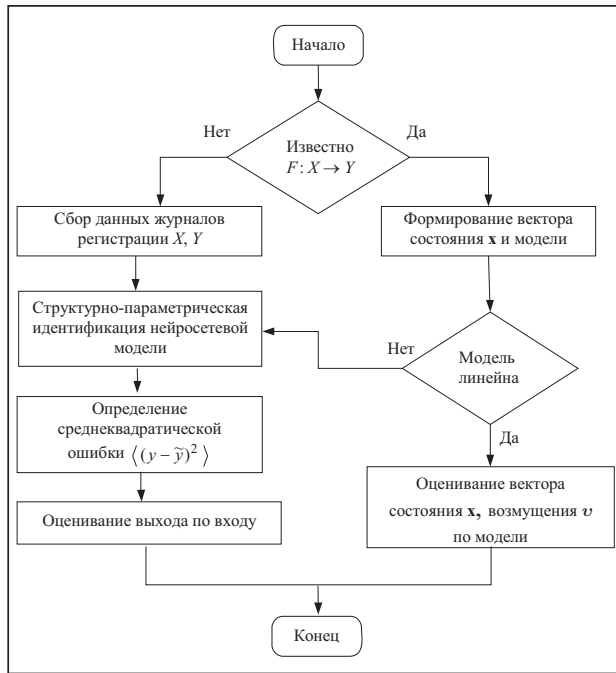


Рис. 2

ра показателей загрузки этого узла описывается линейной моделью объекта управления вида

$$\mathbf{x}_{k+1} = \bar{A}\mathbf{x}_k, \quad (7)$$

где  $\mathbf{x}_k \in \mathbf{R}^n$  — вектор состояния, семантика которого описывается соотношениями (4) и (6) для вычислительного и управляющего узлов соответственно,  $\bar{A} = \text{diag} \{a_1, \dots, a_n\}$  — невырожденная диагональная матрица размерности  $n \times n$ . Матрица является диагональной, поскольку загрузка каждого ФЭ (т.е. значение каждой компоненты вектора  $\mathbf{x}_k$ ) зависит от значений его загрузки в предыдущие моменты времени и не зависит от загрузки остальных ФЭ (например, загрузка процессора не связана со степенью загрузки оперативной памяти и коэффициентом использования жесткого диска).

Правая часть приведенного соотношения описывает динамику изменения загрузки узла в процессе выполнения задачи без учета возможности поступления новых задач. Учитывая физический смысл переменных в модели, можно считать, что матрица  $\bar{A}$  устойчива, т.е. норма  $\|A\| < 1$ . Действительно, если в систему не поступают новые задания, то загрузка ресурсов, определяемая векторами (4) и (6), монотонно снижается. Если в систему не поступают новые задачи, то в результате переходного процесса, связанного с выполнением текущей задачи, вектор состояния системы (показателей загрузки ее ФЭ) переходит в равновесное положение  $\mathbf{x}^* = 0$ .

Например, для тестовой задачи вычисления площадей затопленных территорий на однопроцессорном компьютере динамика изменения вектора состояния узла представлена на рис. 3. Такую временную зависимость можно аппроксимировать соотношением (7) при

$$\bar{A} = \begin{pmatrix} 0.33 & 0 & 0 \\ 0 & 0.30 & 0 \\ 0 & 0 & 0.30 \end{pmatrix}.$$

Отметим, что зачастую для периодического решения конкретной задачи выделяется отдельный Grid-узел [2]. Если на некотором узле Grid-сегмента периодически запускается одна и та же задача, для оценивания загрузки этого узла можно использовать линейную модель, предварительно идентифицировав ее параметры  $\bar{A}$ . Для оценивания матрицы  $\bar{A}$  по текущим измерениям вектора состояния можно использо-

симилировать непрерывную функциональную зависимость любого порядка. Для преодоления недостатков традиционных алгоритмов настройки нейросетевых моделей, в частности для обеспечения адаптивности и робастности процесса идентификации матриц весовых коэффициентов, используют рекуррентное оценивание параметров этой модели [7].

Общая схема оценивания загрузки узла Grid-системы в зависимости от типа модели и степени неопределенности приведена на рис. 2.

**Построение линейной модели.** Пусть на узел Grid-системы направлена вычислительная задача. Положим, что в первом приближении изменение вектора

вать множественный подход [5, 14]. Варианты практической реализации этого подхода в классе эллипсоидальных множественных оценок для различных критериев предложены в [15–17].

Известны также алгоритмы решения задачи одновременного оценивания параметров и состояний, например, в [18, 19], однако точность получаемых оценок вектора состояний при достаточно грубых оценках параметров системы неудовлетворительна.

Поэтому целесообразно разделить во времени процессы идентификации параметров и оценивания состояний, выполняя идентификацию параметров в строго отведенные периоды, когда владелец административного домена допускает проведение серии экспериментов по измерению состояния его ресурсов.

Поскольку матрица коэффициентов (7) имеет канонический вид  $\bar{A} = \text{diag} \{a_1, \dots, a_n\}$ , то (7) сводится к набору из  $n$  скалярных соотношений  $x_{k+1}^i = a_i x_k^i, i = \overline{1, n}$ .

Следовательно, задача оценивания матрицы параметров вырождается в  $n$  независимых подзадач оценивания каждого из элементов  $a_i, i = \overline{1, n}$ . В рамках теоретико-множественной трактовки неопределенности можно считать, что  $a_i \in [a_i^-, a_i^+]$ ,  $a_i^- < a_i^+, a_i^-, a_i^+ \in R$ . Следовательно, задача оценивания параметров сводится к тривиальной задаче определения границ и центра отрезка на вещественной прямой, как точечной оценки  $\hat{a}_i, i = \overline{1, n}$ .

Поступление новых задач в систему рассмотрим как неконтролируемое внешнее возмущение. Без потери общности считаем его ограниченным, например, физической длиной очереди заданий, поступающих планировщику. Изменение вектора состояния Grid-узла опишем модифицированным соотношением  $\mathbf{x}_{k+1} = \bar{A}_k \mathbf{x}_k + B_k \mathbf{v}_k$ , где  $\mathbf{x}_k \in R^n$  — вектор состояния, семантика которого описывается соотношениями (4) и (6) для вычислительного и управляющего узлов соответственно,  $\mathbf{v}_k \in R^l$  — вектор неконтролируемых возмущений размерности  $l \leq n$ ,  $\bar{A}_k$  — невырожденная кусочно-постоянная матрица размерности  $n \times n$ ,  $\bar{A} = \text{diag} \{a_1, \dots, a_n\}$ ,  $B_k$  —  $(n \times l)$ -матрица.

Первое слагаемое правой части соотношения описывает динамику изменения загрузки узла в процессе выполнения задачи без учета возможности поступления новых задач, а второе слагаемое позволяет учесть возрастание нагрузки на данный ФЭ с появлением новой задачи. Поскольку вновь поступающая задача может распределяться не на все ФЭ узла, размерность вектора возмущений  $\mathbf{v}_k \in R^l$  не превышает размерности вектора состояния системы  $l \leq n$ . Вид матрицы  $B_k$  определяется алгоритмом планирования, реализованным для узла (в простейшем случае при отсутствии специального алгоритма планирования размерности векторов состояния и возмущения совпадают  $l = n$ , а матрица  $B_k$  представляет собой единичную матрицу размерности  $n \times n$ ).

Поскольку не все показатели загрузки ФЭ Grid-узла доступны непосредственному измерению (например, при использовании многоядерных процессоров непосредственно измерению (например, при использовании многоядерных процессоров непосредственно измерению (например, при использовании многоядерных процессоров непосредственно измерению

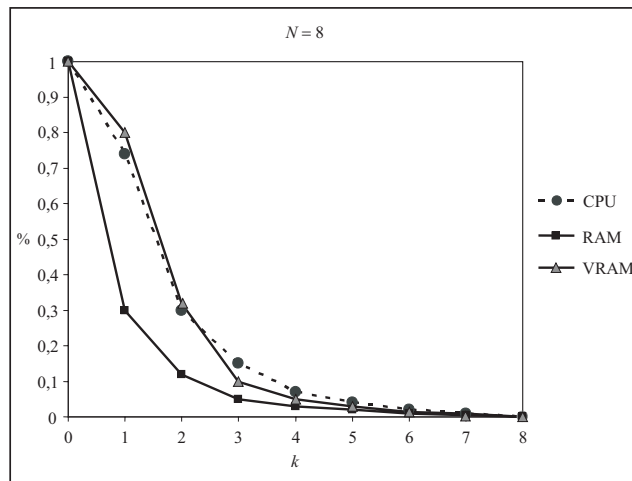


Рис. 3



редственному измерению поддается общая (интегральная) загрузки процессоров (ядер), а не каждого ядра в отдельности), положим, что измеряемый выход системы в каждый момент дискретного времени описано соотношением  $y_k = \bar{U}_k^T \mathbf{x}_k$ , где  $y_k \in \mathbf{R}^3$  — наблюдаемый выход объекта,  $\bar{U}_k$  — матрица размерности  $(n + m + k) \times 3$  вида

$$U^T = \begin{pmatrix} \mathbf{U}_{\text{proc}}^T & 0 & 0 \\ 0 & \mathbf{U}_{\text{mem}}^T & 0 \\ 0 & 0 & \mathbf{U}_{\text{storage}}^T \end{pmatrix},$$

где  $\mathbf{U}_{\text{proc}}^T$ ,  $\mathbf{U}_{\text{mem}}^T$ ,  $\mathbf{U}_{\text{storage}}^T$  — векторы размерностей  $n$ ,  $m$  и  $k$  соответственно;  $n, m, k$  — количество процессоров, блоков оперативной памяти и жестких дисков вычислительного узла соответственно. Векторы  $\mathbf{U}_{\text{proc}}^T$ ,  $\mathbf{U}_{\text{mem}}^T$ ,  $\mathbf{U}_{\text{storage}}^T$  имеют следующую структуру:

$$\mathbf{U}_{\text{proc}}^T = (1/n, \dots, 1/n)^T,$$

$$\mathbf{U}_{\text{mem}}^T = (1/m, \dots, 1/m)^T,$$

$$\mathbf{U}_{\text{storage}}^T = (1/k, \dots, 1/k)^T.$$

Вид матрицы  $U$  определяется семантикой решаемой задачи.

Для управляющего узла матрица  $U$  имеет вид

$$U^T = \begin{pmatrix} \mathbf{U}_{\text{load\_queue}}^T & 0 & 0 \\ 0 & u_{\text{queue}} & 0 \\ 0 & 0 & \mathbf{U}_{\text{node\_load}}^T \end{pmatrix},$$

где  $\mathbf{U}_{\text{load\_queue}}^T$ ,  $\mathbf{U}_{\text{node\_load}}^T$  — векторы размерности  $k$ ,  $k$  — количество подконтрольных узлов;  $u_{\text{queue}} \in \mathbf{R}^1$ . Векторы  $\mathbf{U}_{\text{load\_queue}}^T \in \mathbf{R}^k$ ,  $\mathbf{U}_{\text{node\_load}}^T \in \mathbf{R}^k$  и  $u_{\text{queue}}$  имеют следующую структуру:

$$\mathbf{U}_{\text{load\_queue}}^T = (1, \dots, 1)^T,$$

$$\mathbf{U}_{\text{node\_load}}^T = (1, \dots, 1)^T,$$

$$u_{\text{queue}} = 1.$$

Задачу оценивания нагрузки для узла можно рассматривать как задачу оценивания вектора состояния линейной системы управления с неконтролируемыми возмущениями. Описание задачи в терминах теории управления и метод ее решения см. в [20].

**Обсуждение линейной модели.** Область применения предложенной модели состояния Grid-узла ограничивается ситуацией, когда известна иерархическая структура узла и изменение загрузки узла описывается линейной моделью.

В работах [21–23] для оценивания и прогнозирования нагрузки на ресурс Grid-системы используются линейные регрессионные модели, преимущественно первого порядка (с глубиной памяти 1). Такой выбор простейшей модели объясняется недостатком априорной информации. При наличии данных о структуре и порядке модели систему можно представлять в виде объекта управления в переменных «вход–выход», решая для него задачу параметрической идентификации одним из классических методов теории управления и идентификации [24]. Однако при оценивании состояния Grid-систем порядок модели точно неизвестен, поэтому приходится решать задачу не только параметрической, но и структурной идентификации [25]. Для этого предложены интеллектуальные методы поиска, в частности генетические алгоритмы [26].

В случае динамического распределения нагрузки на узел представить модель изменения загрузки узла в аналитической форме не представляется возможным. В этом случае целесообразно воспользоваться аппроксимацией (разложением по

базовым функциям) и выбрать модель в форме «черного ящика». Согласно [13] универсальным аппроксиматором является нейронная сеть персептронного типа с одним скрытым слоем.

**Заключение.** В зависимости от постановки задачи и наличия информации о структуре и порядке Grid-системы рассмотрено три класса моделей: линейная модель переменных состояния с неизвестными возмущениями, модель переменных «вход–выход» и нейросетевая модель, применяемая для описания нелинейных объектов общего вида. Для оценки состояний и идентификации моделей применяются элементы интеллектуальных вычислений: нестатистическая неопределенность описана в классе нечетких множеств, для структурно-параметрической идентификации модели в терминах «вход–выход» использован генетический алгоритм.

В контексте исследования Grid-систем можно сформулировать следующие условия применимости рассмотренных моделей. При наличии всей информации, необходимой для распределения нагрузки по доступным ресурсам, можно применять строгие и четко определенные алгоритмы маршрутизации и планирования. Методы теории управления оказываются полезными при отсутствии информации о параметрах, показателях функционирования и текущей нагрузке системы. Такая ситуация характерна для большинства Grid-систем со сложными и динамически поступающими заданиями. На основе предложенного подхода можно идентифицировать структуру и параметры Grid-системы в целом или ее отдельного узла, оценить обобщенный вектор показателей, а затем применить его при реализации (оптимизации) политики распределения задач.

#### СПИСОК ЛИТЕРАТУРЫ

1. Tian Z., Liu L., Yang Y., Zhai Z. A stochastic control model for hierarchical grid service // NPC 2005, LNCS 3779. Ed. by H. Jin, D. Reed, W. Jiang. — 2005. — P. 72–79.
2. Куссуль Н.Н., Шелестов А.Ю. Grid-системы для задач исследования Земли. Архитектура, модели и технологии. — Киев: Наук. думка, 2008. — 452 с.
3. Бакан Г.М. Аналитический синтез алгоритмов гарантированного оценивания состояний динамических объектов // Проблемы управления и информатики. — 2003. — № 3. — С. 38–55.
4. Волосов В.В. Робастные алгоритмы эллипсоидального оценивания состояния многомерных нестационарных непрерывных динамических систем // Там же. — 1999. — № 1. — С. 38–52.
5. Кунцевич В.М., Лычак М.М. Синтез оптимальных и адаптивных систем управления. Игровой подход. — Киев: Наук. думка, 1985. — 286 с.
6. Куссуль Н.Н., Шелестов А.Ю. Оценивание фазового состояния линейных многомерных динамических объектов с использованием размытых эллипсоидальных множеств // Проблемы управления и информатики. — 1995. — № 1. — С. 53–63.
7. Куссуль Н.Н., Шелестов А.Ю. Идентификация нейросетевых моделей объектов управления в классе нечетких множественных оценок // Тр. Одес. Политехн. ун-та. — 2001. — Вып. 3(15). — С. 124–127.
8. Шелестов А.Ю. Структурно-функциональный анализ компонентов Grid-систем // Проблемы управления и информатики. — 2007. — № 5. — С. 119–132.
9. Згуровский М.З., Панкратова Н.Д. Системный анализ: проблемы, методология, приложения. — Киев: Наук. думка, 2005. — 744 с.
10. Johnson R., Hoeller J., Arendsen A., Sampaleanu C. The Spring framework — reference documentation. — <http://springframework.org>.
11. Prem N., Srinivasa Raghavan N.R. A support vector machine based approach for forecasting of network weather services // J. of Grid Comput. — 2006. — 4. — P. 89–114.
12. Куссуль Н.Н., Шелестов А.Ю. Нечеткий эллипсоидальный наблюдатель состояния линейных динамических объектов с неизвестными возмущениями // Праці Міжнар. конф. з управління «Автоматика-2000», Львів, 2000. — С. 149–154.
13. Reed D., Marks J. II Neural smithing. Supervised learning in feedforward artificial neural networks. — Cambridge, Massachusetts, London: A Bradford Book, 1999. — 346 p.
14. Кунцевич В.М. Управление в условиях неопределенности: гарантированные результаты в задачах управления и идентификации. — Киев: Наук. думка, 2006. — 264 с.
15. Polyak B.T., Nazin S.A., Durieu C., Walter E. Ellipsoidal parameter or state estimation under model uncertainty // Automatica. — 2004. — 40. — P. 1171–1179.
16. Волосов В.В., Одинцова Е.А., Храмов С.А. Алгоритмы эллипсоидального оценивания матрицы параметров линейного дискретного динамического объекта управления // Проблемы управления и информатики. — 1995. — № 1. — С. 63–77.



17. Chernousko F. L. Ellipsoidal state estimation for dynamical systems // *Nonlinear Analysis*. — 2005. — **63**, N 5–7. — P. 872–879.
18. Кунцевич В. М. Определение гарантированных оценок векторов состояния и параметров линейных динамических систем при ограниченных возмущениях // *ДАН СССР*. — 1986. — **288**, № 3. — С. 567–570.
19. Kuntsevich V. M. Set-valued estimation of state and parameter vectors within adaptive control systems // *Bounding approaches to system identification* / Eds: M. Milanese, J. Norton, H.-Piet-Lahanier, E. Walter. — New York; London: Plenum Press, 1996. — P. 239–259.
20. Шелестов А. Ю., Куссиль Н. Н. Робастное оценивание состояния узла Grid-системы методом нечетких эллипсоидов // *Кибернетика и системный анализ*. — 2008. — № 6. — С. 67–74.
21. Jain R. *The art of computer systems performance analysis*. — New York: John Wiley and Sons, 1991. — 685 p.
22. Levine D., Ramsey P., Smidt R. *Applied statistics for engineers and scientists: Using Microsoft Excel & Minitab* — New York: Prentice Hall, 2001. — 714 p.
23. Martinich J. *Production and operations management: an applied modern approach*. — New York: John Wiley and Sons, 1996. — 944 p.
24. Сейдж Э. П., Уайт Ч. С. *Оптимальное управление системами*. — М.: Радио и связь, 1982. — 392 с.
25. Шелестов А. Ю. Структурная и параметрическая идентификация моделей объектов управления на основе генетического алгоритма // *Управляющие системы и машины*. — 2007. — № 5. — С. 50–60.
26. Eberhart R., Simpson P., Dobbins R. *Computational Intelligence PC Tools*. — New York: AP Professional, 1996. — 464 p.

*Поступила 30.06.2009*